Электронные спектры поглощения различных классов органических соединений

Правила отбора для электронных переходов

- 1. Запрет по спину. Запрещены переходы, происходящие с изменением спина электрона. Запрет снимается при выраженном спин-спиновом и спин-орбитальном взаимодействии.
- 2.Запрет по симметрии. Переход запрещен, если симметрия основного и возбужденного состояния такова, что все компоненты вектора дипольного момента перехода вдоль координатных осей будет равен нулю. Запрет снимается при нарушении симметрии, связанной с колебанием ядер.
- 3. Запрет по перекрыванию. Переход между орбиталями, которые в пространстве не перекрываются, запрещен. Запрет снимается колебательно. Колебания приводят к искажению геометрии молекулы, что изменяет условия перекрывания отдельных молекулярных орбиталей.

Электронные спектры поглощения алифатических

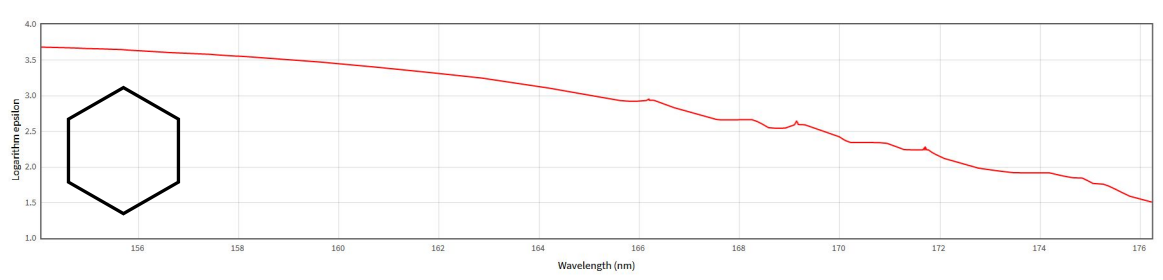
Насыщенные углеводороды ($\sigma \to \sigma^*$

переходы)

Соответствующие им полосы поглощения лежат в далеком

ультрафиолете:

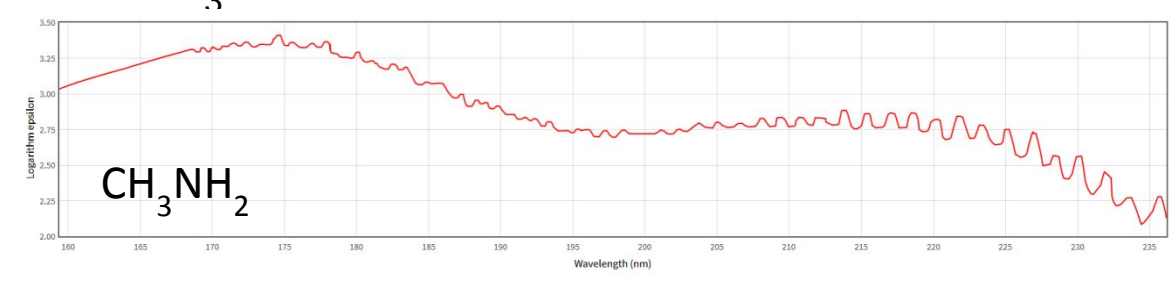
- метан 122 нм
- этан 135 нм
- алканы < 150 нм



Насыщенные углеводороды, содержащие гетероатомы ($\sigma \to \sigma^*$ и $n \to \sigma^*$ переходы)

| Соединени | $\lambda\sigma \to \sigma^*$, hm | $\lambda n \rightarrow \sigma^*, HM$ |
|--------------------|-----------------------------------|--------------------------------------|
| е | | |
| CH₃OH | 150 | 177 |
| CH_3NH_2 | 170 | 215 |
| CH ₃ CI | 150 | 173 |
| | | |

В области 200 – 800 нм большинство углеводородов ИХ производных «прозрачны», позволяет ЧТО использовать ИХ В качестве растворителей. Для функциональных производных эта область чуть уже: 250 - 800 HM.



Электронные спектры поглощения алифатических

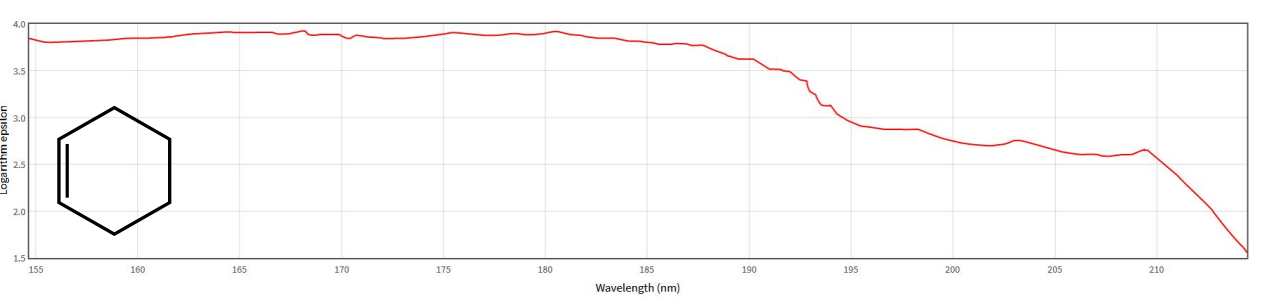
Ненасыщенные углеводороды с изолированными кратными связями ($\sigma \to \sigma^*$, π

$$\rightarrow \pi^*$$
)

Наиболее интенсивные полосы в области 165-200 нм (πo

 π^*):

- этилен 165 нм
- ацетилен 173 нм
- циклогексен 183 нм.

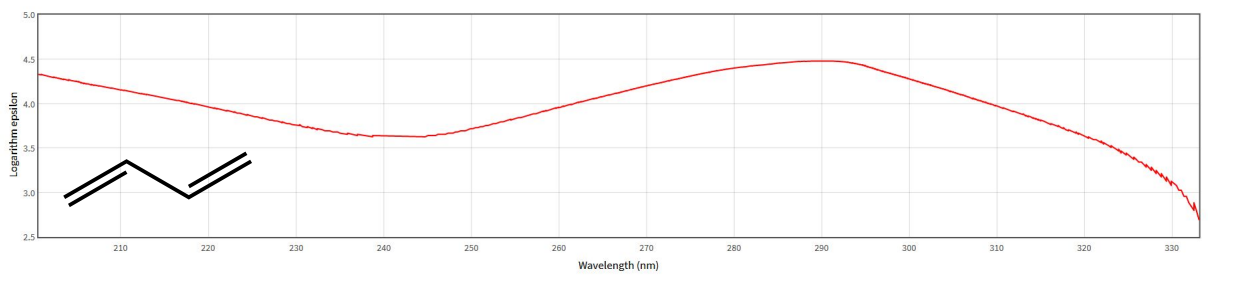


Ненасыщенные углеводороды с сопряженными кратными связями ($\sigma \to \sigma^*$, $\pi \to$

 π^*

Сопряжение двойных связей вызывает батохромный сдвиг полосы поглощения и одновременное увеличение ее интенсивности. Циклические диены вызывают еще больший батохромный сдвиг.

| Система | Соединение | ^х макс | [€] Ma;,c |
|--|---|--|---|
| $C = C - C = C$ $C = C - C = C - C = C$ $(-C = C -)_{4}$ $(-C = C -)_{11}$ $C = C - C = C$ $C = C - C = C$ $C = C - C = C$ | 1,3-Бутадиен 2,4-Гексадиен Гексатриен-1, 3, 5 Декатетраен-2, 4, 6, 8 Ликопин Винилацетилен Окта-3,7-диен-5-ин-2-ол Циклопентадиен Циклогексадиен-1,3 Циклогептадиен-1,3 | 217 227 256 310 504 219 257 238 256 248 | 21 000 23 000 22 400 76 500 170 000 6 500 17 000 3 400 8 000 7 400 |



Замена в цепочке C=C на C≡C уменьшает интенсивность, не влияя на положение полосы.

Электронные спектры поглощения алифатических

Карбонильные соединения ($\sigma \to \sigma^*$, $\pi \to \pi^*$, $n \to \pi^*$)

Наиболее характерны $n \to \pi^*$ переходы:

- 1) $\varepsilon \leq 2000$
- С увеличением полярности растворителя максимум полосы поглощения перехода сдвигается в синюю область за счет понижения энергии основного состояния и повышения энергии возбужденного
- 3) В кислых средах полоса перехода исчезает вследствие блокирования неподеленной электронной пары гетероатома
- 4) Обычно (но не всегда), переходу соответствует наименьшая энергия (самая длинноволновая полоса в спектре)

Замещение водородов при карбонильной группе приводит к сильному гипсохромному сдвигу

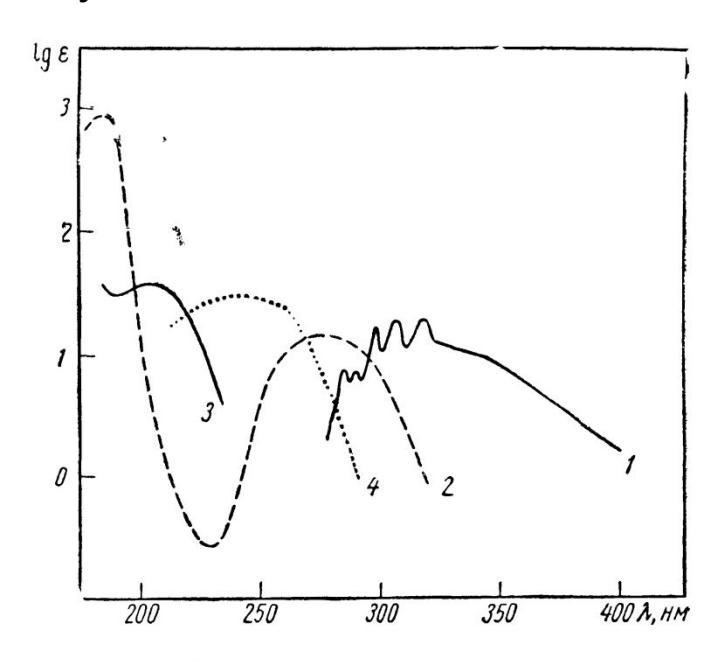


Рис. I.30. Электронные спектры поглощения карбонильных соединений: 1— НСНО в спирте; 2— СН₃СОСН₃ в гексане; 3— СН₃СООН в воде; 4— СН₃СОСІ в гексане

Электронные спектры поглощения ароматических

рединений

Бензол и его производные ($\pi \rightarrow$

β-полоса (разрешенный $\pi \to \pi^*$ - регрежода) (запрещенный $\pi \to \pi^*$ переход)

 α -полоса (запрещенный $\pi \to \pi^*$ переход)

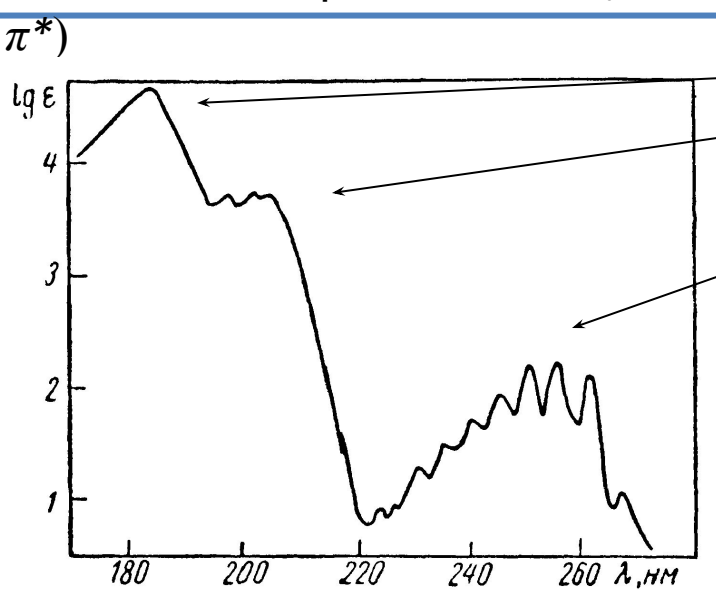


Рис. I.34. Спектр поглощения бензола в гептане

На положение α-полосы значительное влияние оказывают заместители:

- OH, OR, NH_2 , NR_2 батохромный сдвиг, гиперхромный эффект
- NO $_2$, C=O, C=C батохромный сдвиг, появление полосы $n \to \pi^*$

Наибольшие изменения наблюдаются для дизамещенных бензолов, содержащих одновременно ЭД и ЭА заместитель

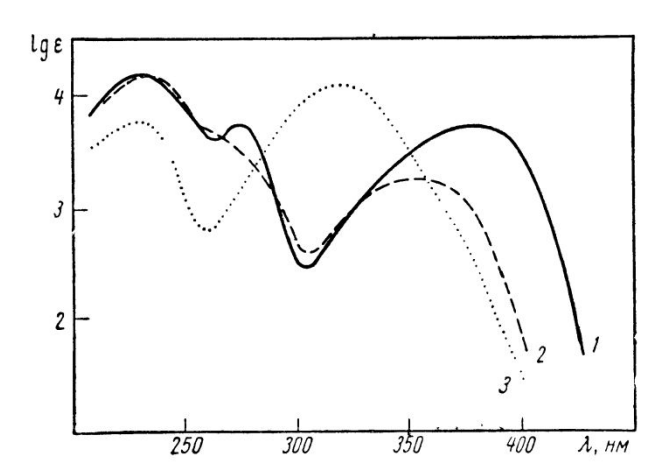
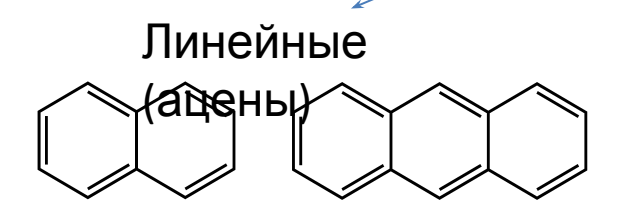


Рис. I.44. Спектры поглощения нитроанилинов в гептане:

1 — орто-; 2 — мета-; 3 — пара-нитроанилин

Электронные спектры поглощения ароматических

Конденсированные ароматические соединения ($\pi
ightarrow$



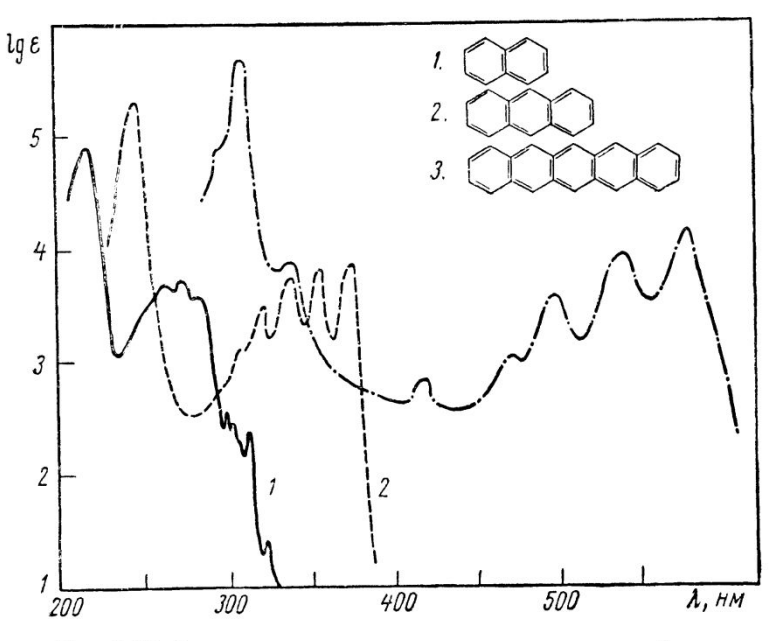


Рис. 1.45. Спектры поглощения аценовых соединений в спирте:

р-Полоса смещается батохромно сильнее, чем αполоса



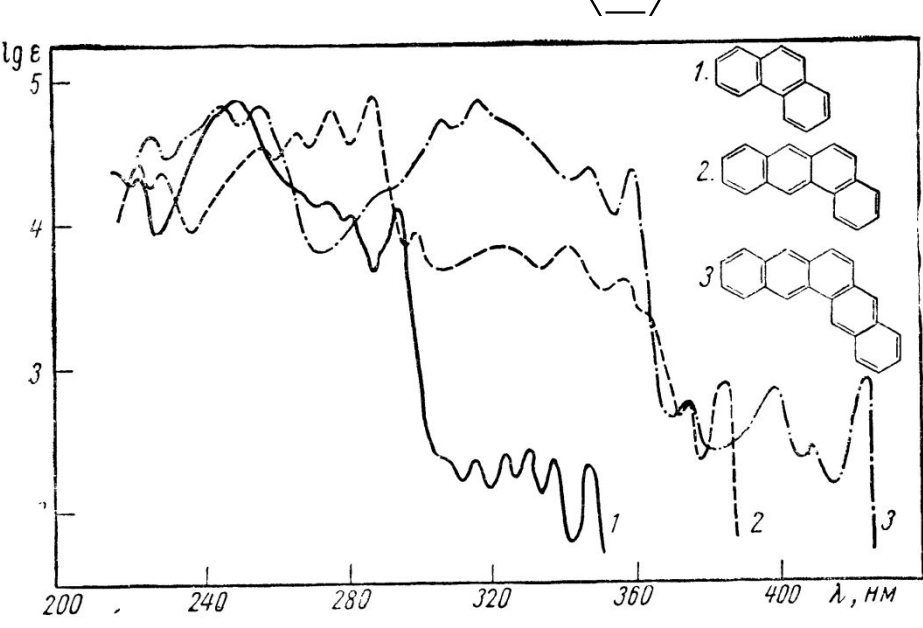


Рис. 1.46. Спектры поглощения феновых углеводородов в спирте:

Сохраняется соотношение $\lambda_{\alpha} > \lambda_{p} > \lambda_{\beta}$

Электронные спектры поглощения ароматических соединений

Влияние

геометрии

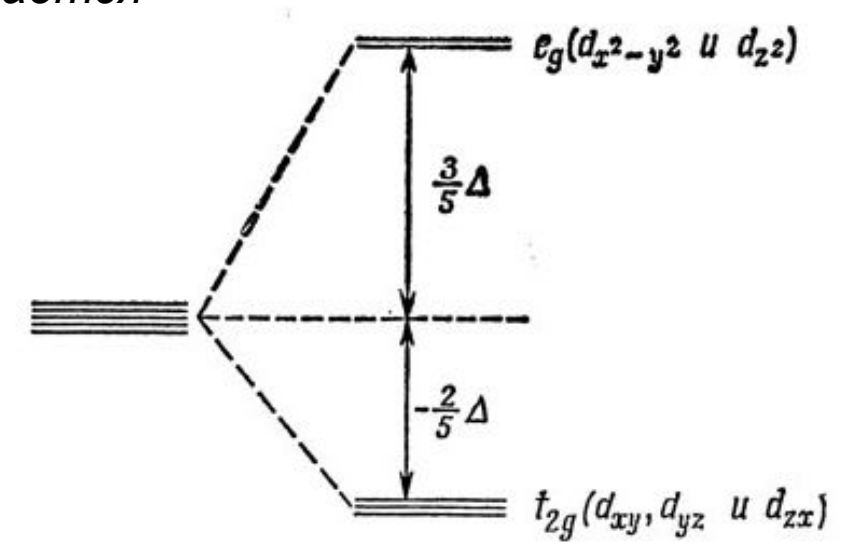
$$\begin{array}{c|c} HN & & & & & & \\ CH_2 & & & & & \\ HOOC & & & & & \\ \end{array}$$

Азокрасители — производные бензидинсульфона: A — синий; B — красный (по материалам http://e-science.ru)

Электронные спектры поглощения координационных соединений

Теория кристаллического поля

Под влиянием точечных зарядов лигандов вырождение *d*-орбиталей *снимается*



 Δ – энергия расщепления

На ∆ влияют следующие факторы:

- Природа иона металла.
- Степень окисления металла. Чем выше степень окисления, тем выше энергия расщепления.
- Расположение лигандов вокруг иона металла.
- Природа лигандов, окружающих ион металла. Чем сильнее эффект от лигандов, тем больше разность между высоким и низким уровнем энергии.

Спектрохимический ряд лигандов

Зависимость Δ:

Заряд ядра Степень

Δ -

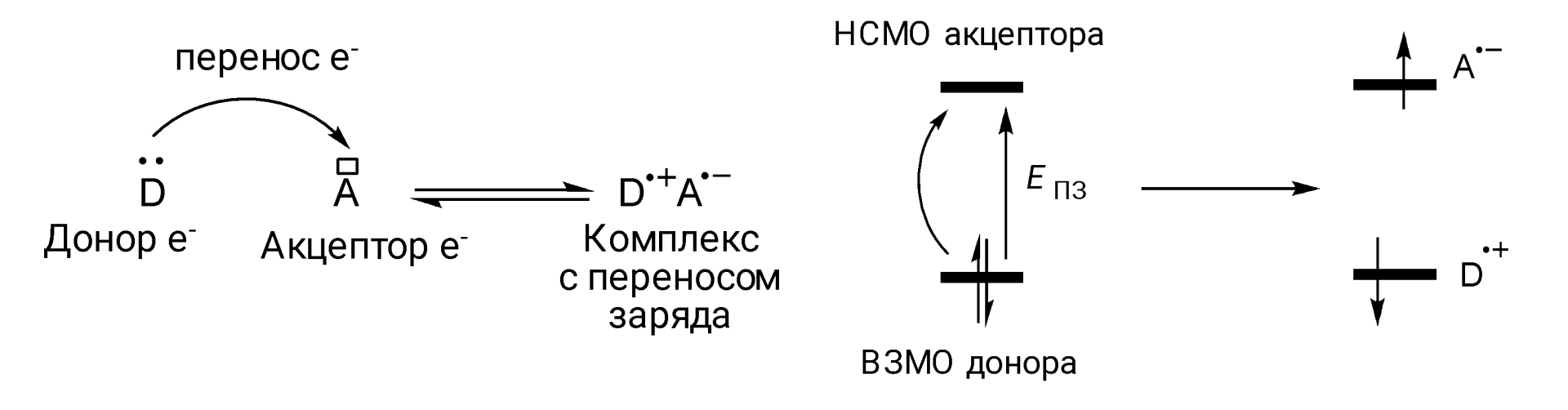
$$I^- < Br^- < SCN^- ≈ Cl^- < NO_3^- < F^- < CO(NH_2)_2 ≈ OH^- ≈ ONO^- ≈ HCOO^- < C_2O_4^{-2-} < H_2O < аминоацетат < ЭДТА^{4-} < пиридин ≈ NH_3 < этилендиамин < α,α'-дипиридил < 0,0'-фенантролин << CN-$$

Комплексы с переносом заряда

Молекулы-доноры и молекулы-акцепторы электронов могут образовывать межмолекулярные донорно-акцепторные комплексы (комплексы с переносом заряда).

Такие комплексы имеют в электронном спектре полосу поглощения, соответствующую переносу электрона от донора к акцептору.

Обычно полосы переноса заряда наблюдаются в видимой области спектра, растворы комплексов имеют цветную окраску.

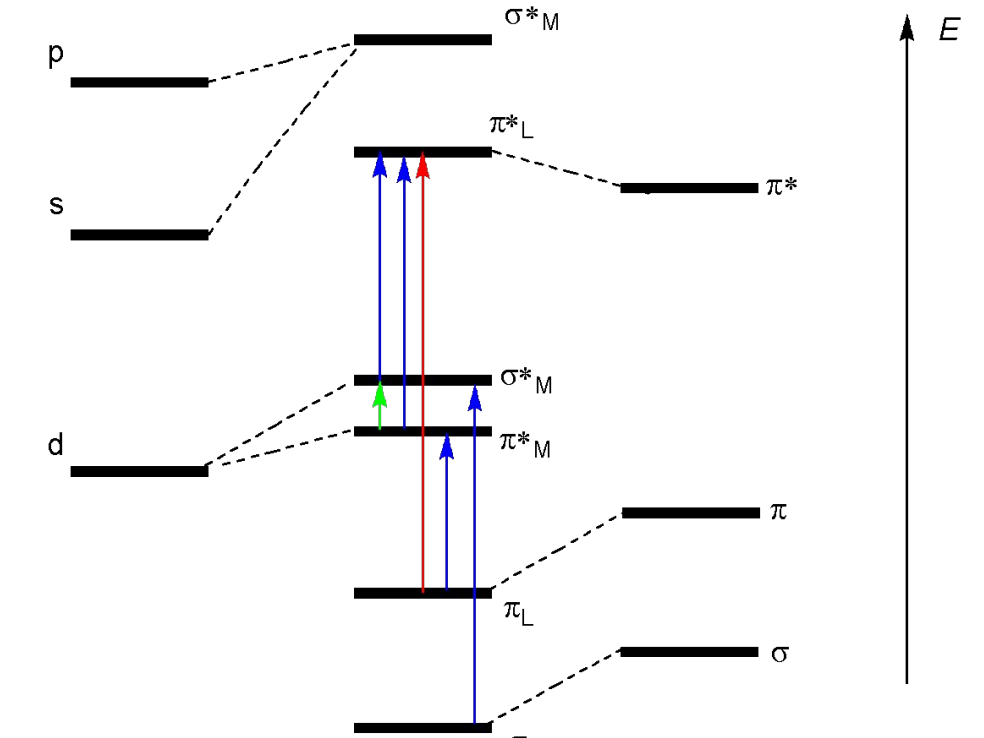


Комплексы переходных металлов

Такие комплексы характеризуются 3 типами электронных переходов:

- 1) переходы между МО металла
- 2) переходы между МО локализованными на лигандах

3) переходы между МО металла и МО лигандов (полосы с переносом заряда). $^{\sigma^* M}$



переходы в металле

переходы в лиганде

переходы металл-лиганд

Применение УФ-спектроскопии

Определение концентрации, констант равновесия

Важно: в интервале возможных концентраций поглощение должно подчиняться закону Бугера-Ламберта-Бэра.

$$c=rac{A}{arepsilon}$$
 , где c – концентрация моль/л, A – поглощение для односантиметрового оптического пути, $arepsilon$ – молярный коэффициент экстинкции

Для смеси веществ В и С необходимо измерить поглощение при двух разных длинах волн:

ВОЛН: $A_1=x\varepsilon_{B_{\lambda_1}}+y\varepsilon_{C_{\lambda_1}}$, где x и y — концентрация компонентов В и С моль/л, $\varepsilon_{\rm B}$ и $\varepsilon_{\rm C}$ — молярные коэффициенты экстинкции компонентов при длинах волн λ_1 и λ_2

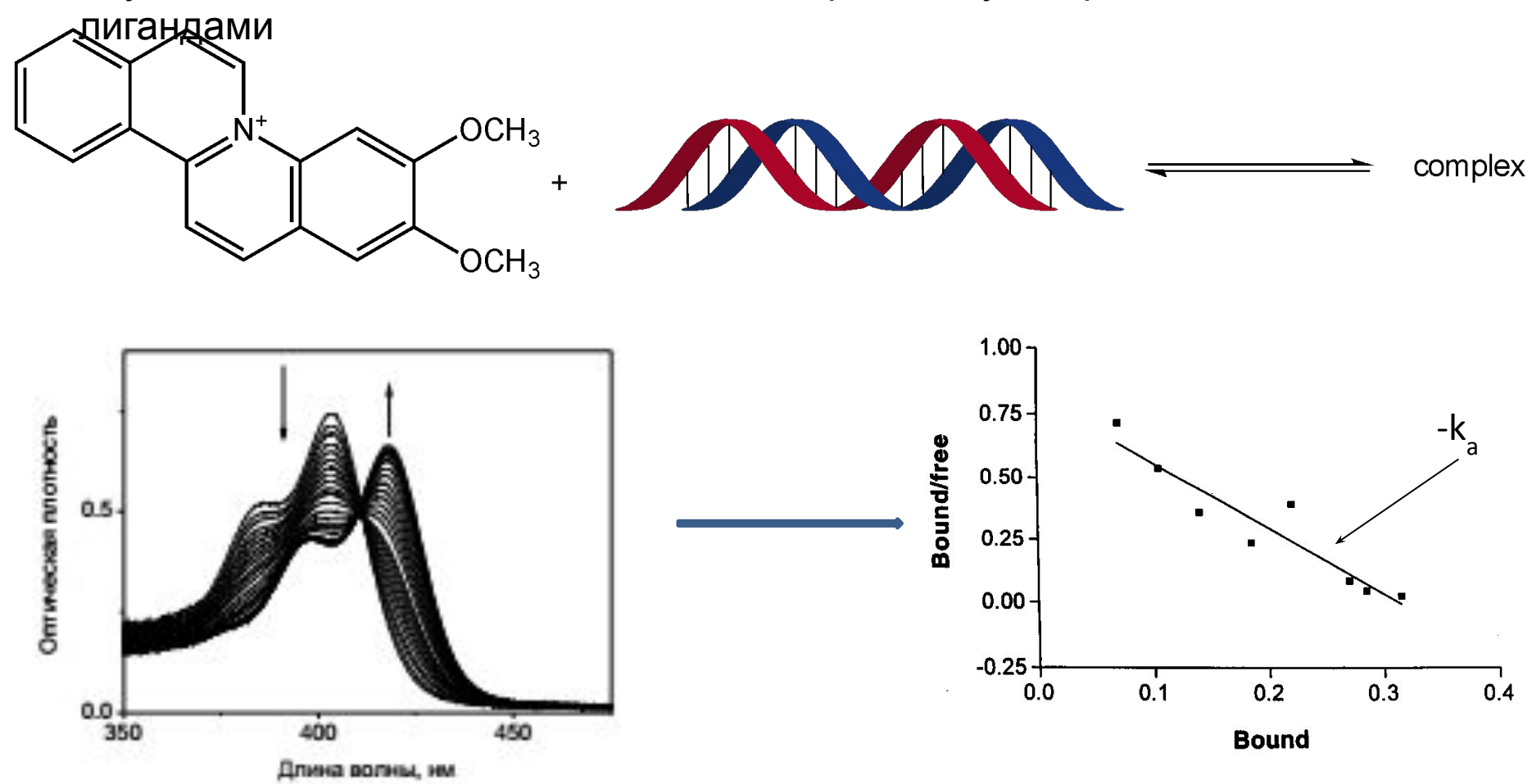
Для системьD + E \Rightarrow DE , где спектры D и DE перекрываются, а E не поглощает имеем;

$$K = \frac{[DE]}{[D][E]} \longrightarrow \frac{[D] = [D]_0 - [DE]}{[E] = [E]_0 - [DE]} \longrightarrow K = \frac{[DE]}{([D]_0 - [DE])([E]_0 - [DE])}$$

$$[DE] = \frac{A - A^{0}}{\varepsilon_{DE} - \varepsilon_{D}} \longrightarrow \left(K^{-1} = \frac{A - A^{0}}{\varepsilon_{DE} - \varepsilon_{D}} - [D]_{0} - [E]_{0} + \frac{[D]_{0}[E]_{0}(\varepsilon_{DE} - \varepsilon_{D})}{A - A^{0}}\right)$$

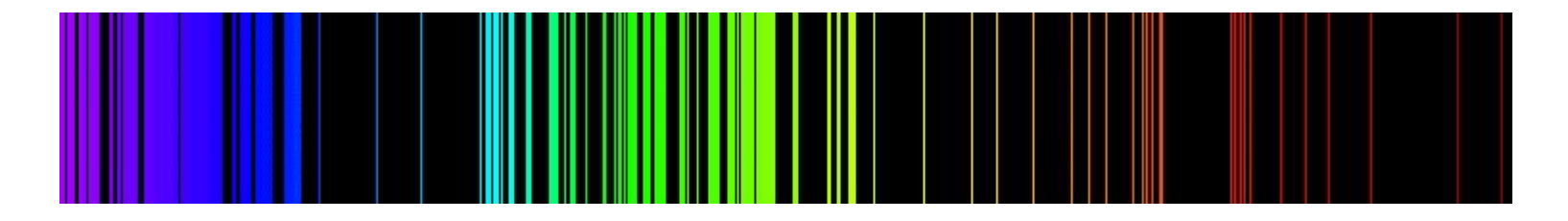
Биологическое применение УФ-спектроскопии

Изучение связывания биологических макромолекул с органическими

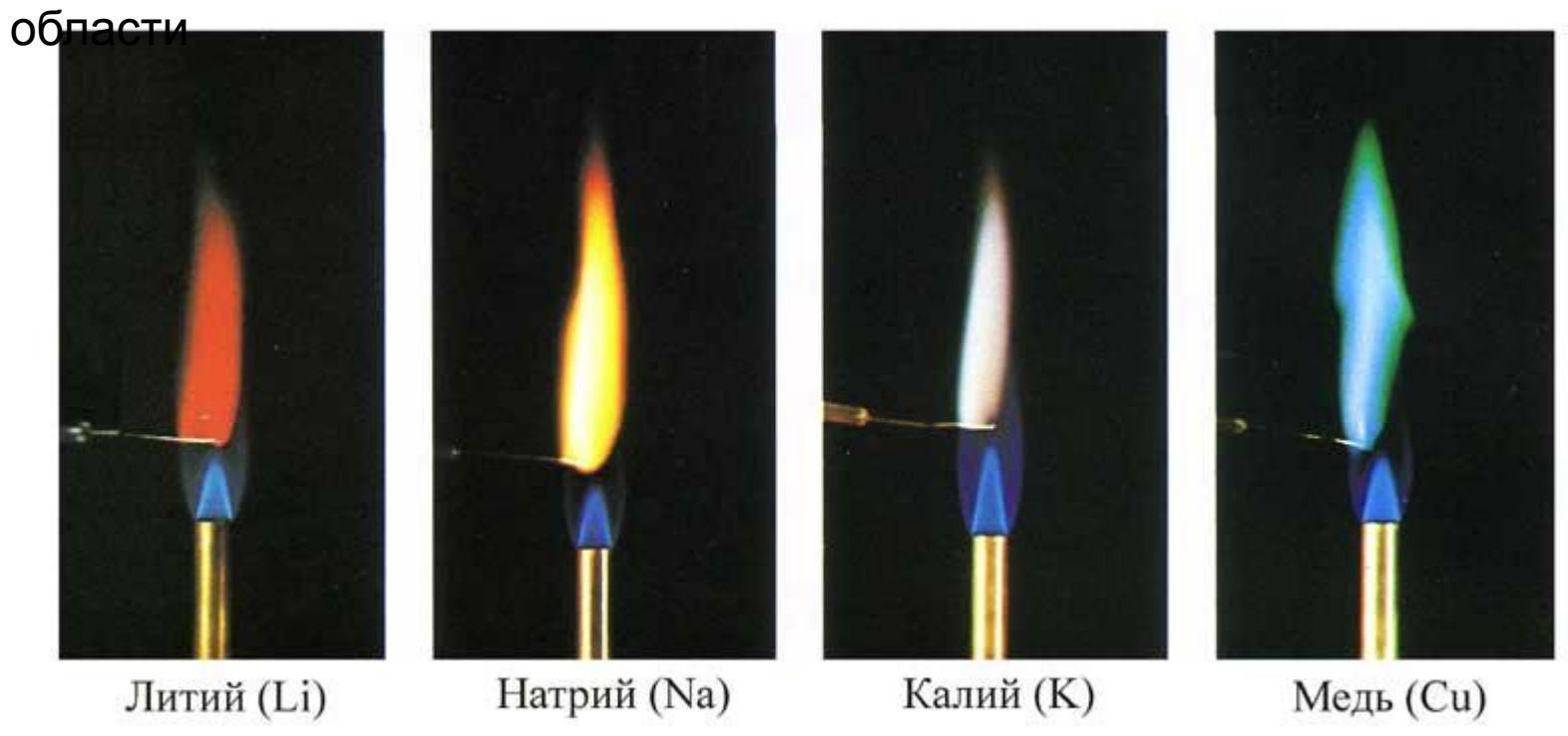


Эмиссионные спектры

Эмиссионный спектр (излучения или испускания) – обратный спектру поглощения. Для атомов в газах и парах – линейчатые.



Окраска пламени горелки солями металлов – их эмиссия в видимой



Люминесценция

Нетепловое свечение вещества, происходящее после поглощения им энергии возбуждения

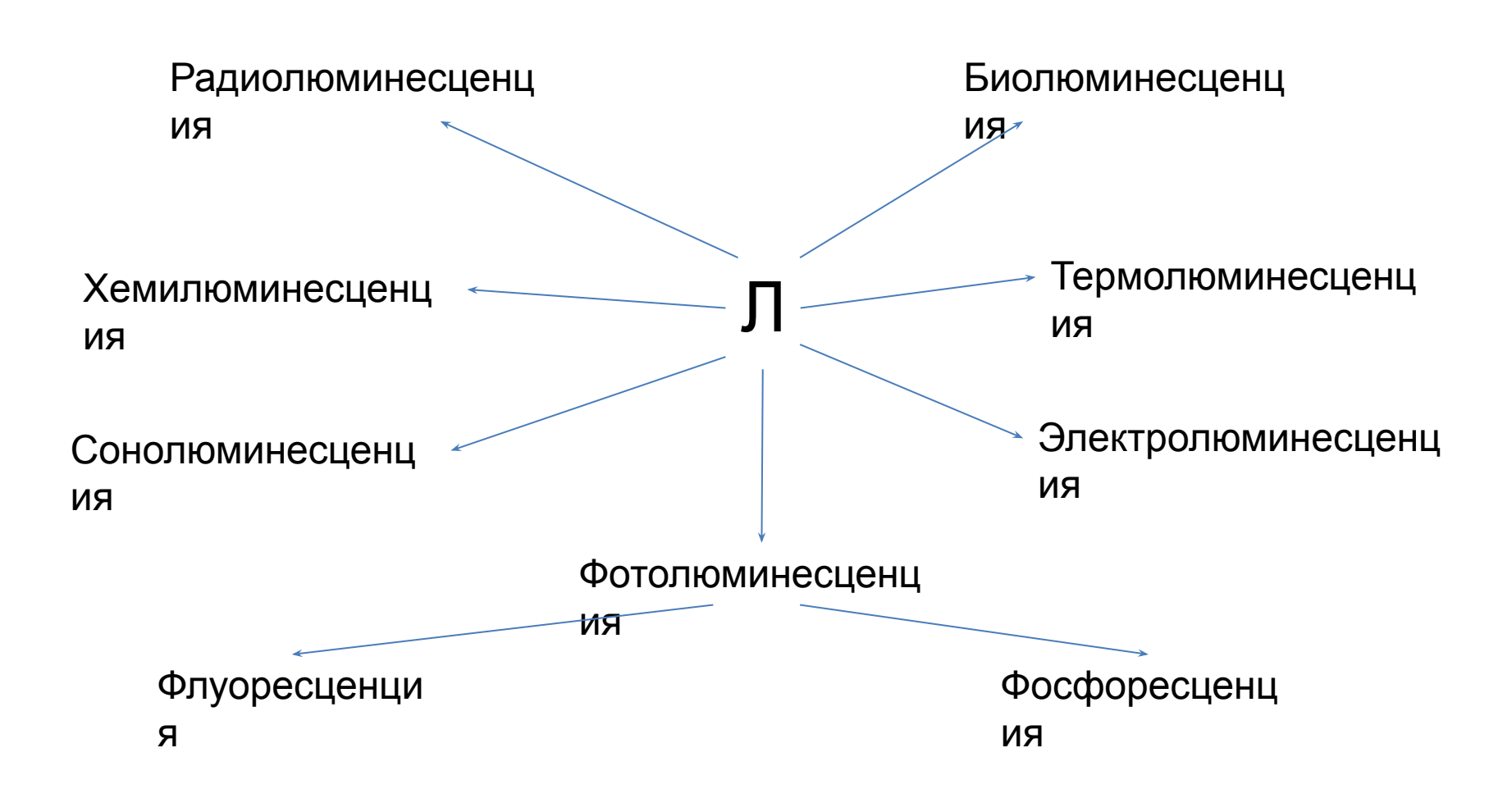
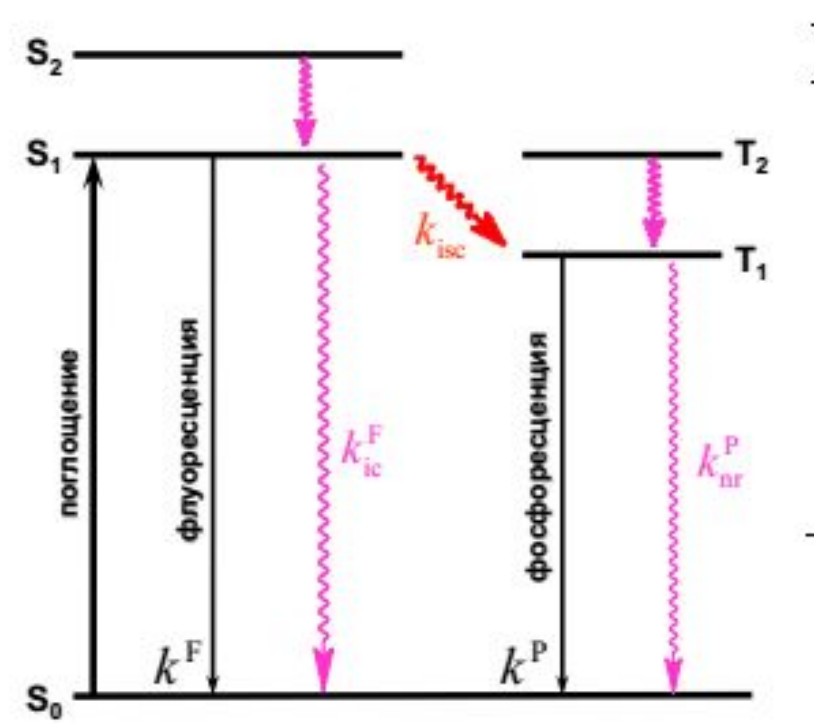


Диаграмма Яблонского



| Поглощение | 10 ⁻¹⁵ c | |
|---|-------------------------|--|
| Колебательная релаксация | $10^{-12} - 10^{-10}$ c | |
| Время жизни возбужденного состояния S ₁ | $10^{-10} - 10^{-7}$ c | |
| (флуоресценция) | | |
| Интеркомбинационная конверсия | $10^{-10} - 10^{-8}$ c | |
| Внутренняя конверсия | $10^{-11} - 10^{-10}$ c | |
| Время жизни возбужденного состояния T ₁ (фосфоресценция) | 10 ⁻⁶ – 1 c | |

Квантовый выход люминесценции: $\varphi = \frac{N_i}{N_p}$, где N_i — число излучённых квантов, N_p — число поглощённых квантов.

Энергетический выход: $B_{en} = \frac{N_i E_i}{N_p E_p} = \varphi \frac{v_1}{v_2}$, где v — частота излучения.

Основные закономерности люминесценции

- 1. В общем случае, вид спектров люминесценции не зависит от длины волны возбуждающего света, что связано с быстрой колебательной релаксацией, приводящей к равновесному распределению молекул по подуровням основного состояния.
- 2. Положение 0-0 перехода одинаково для спектров поглощения и флуоресценции, но спектр излучения в целом и его максимум всегда сдвинуты по сравнению со спектром поглощения и его максимумом в сторону длинных волн (Закон Стокса-Ломмеля). Величину разницы между максимумами спектров поглощения и флуоресценции называют Стоксовским сдвигом.
- 3. Обычно различия между колебательными уровнями основного и возбужденного состояний сходны, поэтому спектр флуоресценции повторяет спектр п Стоксовский сдвиг: О зеркальной симметрии Левшина)

переход

Тушение люминесценции

Основные межмолекулярные фотофизические процессы тушения флуоресценции.

| Фотофизический процесс | $M^* + Q \rightarrow продукты$ | Донор | Акцептор |
|---|---|-------------------|-----------------|
| Взаимодействие с тяжелым атомом (например | , | | |
| Г, Вг) или парамагнитными частицами | $M^* + Q \rightarrow M + Q + h\nu$ | | |
| (например, O2, NO) | | | |
| Перенос электрона | $^{1}D^{\bullet} + A \rightarrow D^{\cdot+} + A^{-}$ | $^{1}D^{\bullet}$ | A |
| | ${}^{1}A^{*} + D \rightarrow D^{*} + A^{-}$ | D | ¹ A* |
| Образование эксимеров | ${}^{1}M^{*} + {}^{1}M \rightarrow {}^{1}(MM)^{*}$ | | |
| Образование эксиплексов | $^{1}D^{*} + A \rightarrow ^{1}(DA)^{*}$ | $^{1}D^{\bullet}$ | A |
| | $^{1}\text{A}^{*} + \text{D} \rightarrow ^{1}(\text{DA})^{*}$ | $^{1}A^{\bullet}$ | D |
| Перенос протона | $AH^* + B \rightarrow A^{-*} + BH^+$ | AH* | В |
| | $B^{\bullet} + AH \rightarrow BH^{+\bullet} + A^{-}$ | B* | AH |
| Перенос энергии | $^{1}D^{\bullet} + ^{1}A \rightarrow ^{1}D + ^{1}A^{\bullet}$ | $^{1}D^{\bullet}$ | ¹ A |
| | ${}^{3}D^{\bullet} + {}^{1}A \rightarrow {}^{1}D + {}^{3}A^{\bullet}$ | $^{3}D^{\bullet}$ | 1A |
| | ${}^{3}D^{*} + {}^{3}A \rightarrow {}^{1}D + {}^{3}A^{*}$ | $^{3}D^{\bullet}$ | ^{3}A |
| | ${}^{1}M^{*} + {}^{1}M \rightarrow {}^{1}M + {}^{1}M^{*}$ | $^{1}M^{\bullet}$ | ¹ M |

Тушение люминесценции

Три основных случая:

- 1. Q присутствует в большом избытке, следовательно, высока вероятность нахождения молекул М* и Q в момент возбуждения на расстоянии, где взаимодействие значительно. Таким образом, не требуется взаимного столкновения М* и Q за время жизни возбужденного состояния. Если вероятность нахождения молекулы тушителя на расстоянии от М*, где возможно столкновение, меньше 1, то этот процесс относится к статическому тушению.
- 2. Q в недостатке и взаимное столкновение М* и Q невозможно за время жизни возбужденного состояния (из-за высокой вязкости среды или слишком короткого времени жизни). Это случай дальнодействующего безызлучательного переноса энергии.
- 3. Q в недостатке и взаимное столкновение М* динамическим тушением. При высоких концентрациях Q наряду с динамическим тушением возможным становится и статическое тушение. Процесс динамического тушения относится к процессам, контролируемым диффузией и, как следствие, константа скорости тушения зависит от времени.